

Jurnal Ilmiah Bidang Sains - Teknologi Murni Disiplin dan Antar Disiplin

ISSN No.: 1978 - 8819

Vol. III, No. 1, Maret 2017

POLIESTER T Oleh <i>Hendri He</i>	stiawan', Jamari Kusmono ² , Departemen Teknik Mesin dan Industri UGM
QUALITY OF	L WEIGHTING DEMOSAICKING METHOD TO ENHANCE THE DIGITAL CAMERA IMAGES tri Purwandari', Anindita Ayu Prastiwi', Boko Susilo', Teknik Informatika
FISIK DAN MI	CK BAHAN CETAKAN MORTAR DAN BAJA TERHADAP SIFAT EKANIK CORAN ALUMINIUM F Alqap', Redo Vanesa', Hendra', Agus Suandi', Dedi Suryadi', NIB
MANAGEMEN BALIKPAPAN, Oleh Indriyani Matsumoto', ¹ Gr Environmental	THE APPROPRIATE MODELOF A COMMUNITY-BASED WASTE T (CASE OF RURAL AREA IN KARANG JOANG VILLAGE, INDONESIA) Rahman', Yonik Meilawati ³ , Slamet Raharjo ³ , Dekpride Despa ⁴ , Toru aduate School of Environmental Eng. University of Kitakyushu, ⁴ Dept. of Eng. University of Pasundan, ³ Dept. of Environmental Eng. University of Electrical Eng. University of Lampung
CPT APPROAC	SOIL LAYER FOR SOME AREAS IN BENGKULU CITY BASED ON THe albuin Mase, Geby Fathona, Civil Eng. UNIB, Architecture Eng. UNIB
SKALA MIKRO	N MEKANISME FURLING CONTROL UNTUK KINCIR ANGIN) di', Linggar Pramudiono', Nurul Iman Supardi', 'Teknik Mesin UNIB
DAERAH IRIC	N BENDUNG TIPE MERCU BULAT UNTUK MENDUKUNG GASI PEMATANG GUBERNUR KOTA BENGKULU naira Putri ¹ , Besoeri ¹ , Gusta Gunawan ¹ , Teknik Sipil UNIB
	N TEKNOLOGI TEPAT GUNA MESIN BALANCING RODA MOBIL ', R. Prayoga', A. Fauzan', Teknik Mesin UNIB

Diterbitkan Oleh:

Fakultas Teknik - Universitas Bengkulu, Jalan Raya Kandang Limun Bengkulu 38123 Telp.: (0736) 21170, 344067 Fax.: (0736) 22105 E-mail: teknosia@yahoo.com

PEMANFAATAN TEKNOLOGI TEPAT GUNA MESIN BALANCING RODA MOBIL

Dedi Suryadi¹⁾, Restu Prayoga¹⁾, A. Fauzan¹⁾

Program Studi Teknik Mesin, Fakultas Teknik, Universitas Bengkulu
Jl. WR. Supratman Kandang Limun, Kota Bengkulu, 38371 telepon: (0736) 344087, 21170
Email: dedi survadi@unib.ac.id

ABSTRACT

This research deals with design and manufacture of a balancing machine for car's wheels. Concept of balancing machine is carried out based out capacity needed. Balancing machine consist of the driver motor, v-belt, pulley, shaft, bearing, and coupling. First, frame of the balancing machine considered. Here, dimensions of frame are fixed, namely 750mm of length, 150mm of wide, and so of high. Material used for frame is ASTM A36 with standard C-profile. Strength of the frame is a by using finite element model. Meanwhile, other components such as driver motor, v-belt, pulley bearing, and coupling are numerically designed. Furthermore, balancing machine is manufactured order to control quality of the product, manufactured machine is experimentally tested referred to 3272. Results show that machine is qualified to be used for wheel balancing with maximum speed.

Key words: wheel, unbalance, balancing machine, design, manufacture

1. PENDAHULUAN

Roda merupakan salah satu komponen yang sangat penting dari sebuah mobil. Fungsi roda adalah menahan seluruh berat mobil serta memindahkan tenaga engine mobil ke permukaan jalan^[1]. Penggunaan roda dominan, sering sangat mobil yang menyebabkan kerusakan pada roda mobil. Salah satu kerusakan yang sering terjadi adalah ketidakseimbangan massa (unbalance).

Unbalance adalah ketidakseimbangan distribusi massa dengan garis sumbu rotasi roda^[2]. Apabila kondisi unbalance dibiarkan, akan berakibat buruk pada performa mobil. Oleh sebab itu, perlu dilakukan tindakan perawatan untuk memperbaiki kondisi unbalance. Tindakan perawatan yang bisa dilakukan adalah dengan proses balancing.

Proses *balancing* adalah proses pengecelan distribusi masa pada roda mobil memperoleh keseimbangan^[3].

Mesin balancing roda mobil subations banyak digunakan oleh bengkel besar Sedangkan bengkel menengahke bawah samemiliki mesin ini. Hal ini dikarenakan bangangan sangat mahal, sehingga bengkel keci tidak mampu membeli mesin ini. Oleh karena itu, perlu dibuat mesin balancing sehingga dapat digunakan oleh bengan menengah ke bawah.

Dalam penelitian ini, perancaman dan pembuatan mesin balancing roda mobil yang diproduksi secara mandiri dilakukan. Perancangan akan dilakukan melalui beberapa tahapan, yaitu mulai dan perancangan rangka sampai dengan

komponen pendukung mesin puti motor, sabuk, pully, dan

dengan menggunakan lunak elemn hingga. Sedangkan komponen lainnya dilakukan meric. Hasil rancangan diproduksi mgan mengacu pada standar ISO mijan mesin balancing dilakukan mengetahui kelayakan hasil dalah dengan menggunakan roda balance. Kelayakan mesin hasil muji berdasarkan level getaran meda mesin.

PERANCANGAN MESIN

 $\square VG$

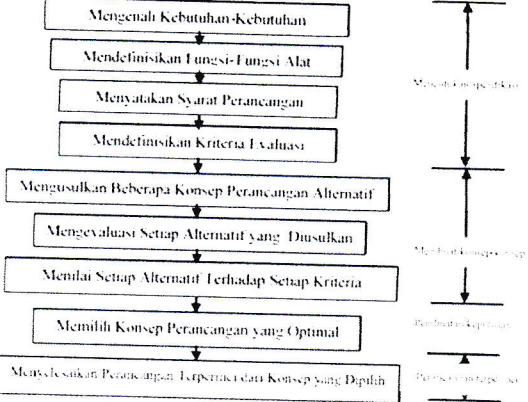
adalah kegiatan awal dari dalam merealisasikan sebuah leberadaannya diperlukan oleh untuk meningkatkan hidupnya. Sedangkan sin berarti perencanaan dari ia yang berkaitan dengan sifat mduk, struktur, alat-alat, dan perancangan tersebut dibuat penting yang egiatan-kegiatan lain yang Tahapan dalam melakukan 🔳 dilihat pada Gambar 1.

mangan Mesin Balancing

cangan.

ing roda dengan harga yang

- 2.Mesin *balancing* roda dapat digunakan selama 8-10 jam per hari.
- 3.Desain yang simpel dan portabel agar mudah untuk digunakan.
- 4.Konstruksi yang kuat dan proses pengerjaan yang baik.
- 6.Proses perawatan dan perbaikan mesin dapat dilakukan dengan mudah dan murah.
- 7.Mesin tidak menimbulkan getaran yang berlebihan ketika mesin dioperasikan.



Gambar 1. Tahapan Perancangan^[5]

Komponen Mesin *Balancing* Roda Mobil

Mesin *balancing* yang akan dirancang dalam penelitian ini terdiri atas beberapa komponen, antara lain rangka mesin, poros, puli poros, sabuk-v, motor listrik, puli motor, kopling, dan bearing.

Perancangan rangka

Profil batang yang digunakan untuk rangka mesin balancing ini adalah c-chanel, dan material rangka adalah baja. Berdasarkan kebutuhan perancangan dibuat dimensi produk mesin balancing roda mobil dengan lebar 750 mm, panjang 750 mm, tinggi 875 mm. Material baja yang digunakan pada

STE

IGE.

DON

NGIN

KING

DELL

11 73

perancangan mesin balancing roda mobil adalah baja ASTM A36. Properties material baja ASTM A36 dapat dilihat pada Tabel 1^[6].

Tabel 1. Properties material baja ASTM A 36

bel 1. Properties	Value	Unit
Property.	200000	N mm ²
Elastic Modulus	0,26	
Poisson's Ratio	7850	Kg m ³
Mass Density	400	N mm ²
Tenstie Strength	250	N mm ²
Yield Strength	C1 L	otong Vi

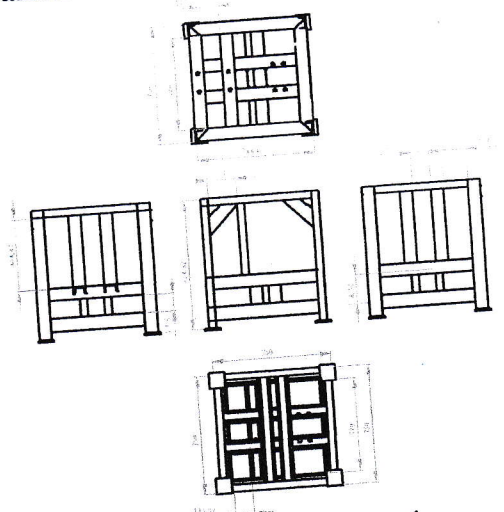
yang batang profil dari Dimensi digunakan, desain rangka dan dimensi rangka masing-masing dapat dilihat pada Gambar 2, Gambar 3 dan Gambar 4.



Gambar 2. Ukuran profil c-chanel



Gambat 3. Desain rangka mesin balancing



Gambar 4. Dimensi rangka

Spesifikasi Roda Mobil dan Balancing yang Digunakan

Men

pada

Roda mobil yang digunakan memilik berat 12 kg dengan diameter 550 mm can diameter pelek 470 mm, serta ketebalan Ind mm. Rancangan roda mobil yang diguras en dapat dilihat pada Gambar 5.



Gambar 5. Desai Roda Mobil

Putaran balancing dapat diketahui dari Tare 2.

Tabel 2. Hubungan Dimensi Rotor Putaran Balancing[7].

Putaran Balar	icing .	
	L/D ratio	1 plane
	< 0.5	0 - 1000 rpm
	0.5 <l d<2<="" td=""><td>0 - 150 rpm</td></l>	0 - 150 rpm
	> 2	0 - 100 rpm

Berdasarkan Tabel 2, putaran balancare dapat diketahui dari perbandingan tebal === diameter roda. Perbandingan antara tebal ma dan diameter roda mobil yang digurater adalah $\frac{160}{550}$ = 0,29 dan nilainya kurang dari 1.5 Sehingga dari Tabel 2 diketahui p balancing yang bisa dilakukan sampai rpm.

Putaran

memiliki 550 mm dan etebalan 160 eg digunakan

Mobil

hui dari Tabel

i Rotor dan

Diane	
F	
	plane

n - 1000 rpm

0 - 150 rpm

0 - 100 rpm

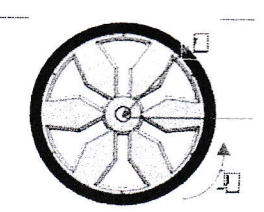
ingan tebal dan antara tebal roda yang digunakan kurang dari 0,5.

iketahui putaran kan sampai 1000

72

Menentukan Torsi Roda

Skema penentuan torsi roda dapat dilihat pada Gambar 6.



Gambar 6. Torsi Roda

$$I = m \times R^2$$

$$= 12 \text{ kg} \times (0.275 \text{ m})^2$$

$$= 0.907 \text{ kg.m}^2$$

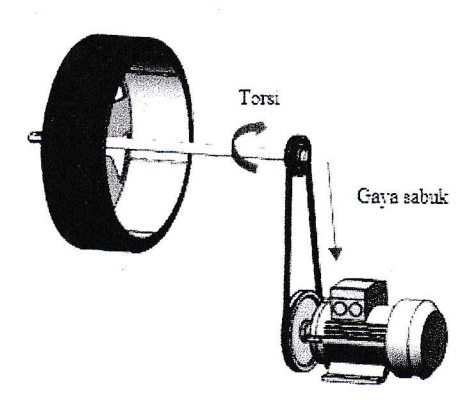
Percepatan roda diputar dari keadaan diam sampai 20 detik. Putaran 0 - 1000 rpm.

Torsi roda dapat ditentukan menjadi

$$T = I \times \alpha$$

$$= 4,746$$
 N.m $= 4,75$ N.m

Perancangan Sistem Transmisi Daya



Gambar 7. Mekanisme Penggerak Roda

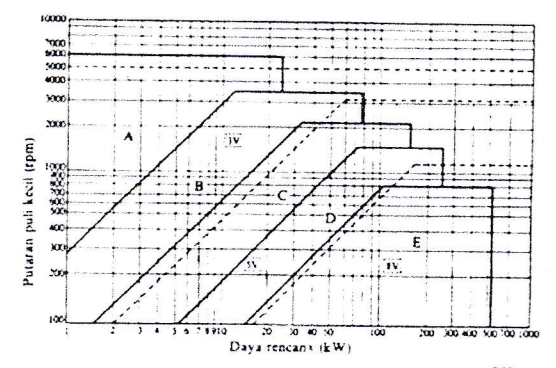
Sistem transmisi adalah puli dan sabuk-v, yang akan mentransmisikan daya untuk memutarkan roda (Gambar 7). Torsi pada roda, poros dan puli poros adalah sama. Sehingga putaran sudut yang terjadi pada roda, poros dan puli juga sama, dengan

demikian daya pada puli poros dapat diketahui:

$$P_{puli} = T_{puli} \times \omega$$

$$=496,85$$
 Watt

Untuk grafik pemilihan jenis sabuk-v dapat dilihat pada Gambar 8.



Gambar 8. Grafik Pemilihan Sabuk-v^[6]

Berdasarkan daya dan putaran yang bekerja pada puli poros, diketahui dari Gambar 8 jenis sabuk-v yang digunakan adalah tipe-A.

Diameter jarak lingkaran bagi puli (Dp)

Ukuran diameter minimum puli yang diizinkan dan dianjurkan, dapat dilihat pada Tabel 3.

Tabel 3. Ukuran Pemilihan Puli [6]

Penampang	A	В	C	D	E
Diameter minimal yang diizinkan	65	115	175	300	450
Diameter minimal yang dianjurkan	95	145	225	350	550

Diketahui
$$i = \frac{n1}{n2} = \frac{1000 \text{ rpm}}{500 \text{ rpm}} = 2 \text{ dan dp}$$

minimum yang disarankan berdasarkan tipe sabuk-v dari Gambar 8 adalah 95 mm.

$$Dp = dp \times i$$

= 190 mm

Diameter luar puli (dk dan Dk)

$$dk = dp + 2 \times 5.5$$

= 106 mm

Berdasarkan ketersediaan dilapangan digunakan puli denga diameter 107,4 mm

$$Dk = Dp + 2 \times 5,5n$$
$$= 201 \text{ mm}$$

Berdasarkan ketersediaan dilapangan digunakan puli dengan diameter 203,2 mm

Kecepatan sabuk (v)

$$V = \frac{\pi \times dp \times n1}{60 \times 1000}$$
$$= 4.971 \text{ m/s}$$

di mana C = 460 mm

Panjang keliling (L)

$$L = 2C + \frac{\pi}{2} \left(D_p + d_p \right) + \frac{1}{4c} (D_p - d_p)^2$$

= 1364,35 mm

Nomor nominal sabuk-v

$$L = 1372 \text{ mm} = \text{nomor } 54 \text{ (Tabel } 2.3)$$

Sudut kontak 0

$$\theta = 180 - \frac{57 (D_p - d_p)}{c}$$
$$= 168,22^{\circ}$$

Sudut kontak antara sabuk dan puli yang digerakkan

$$\theta = \frac{\text{sudut kontak}}{180^{\circ}} \times \pi$$
$$= 2.934^{\circ}$$

Perancangan Poros

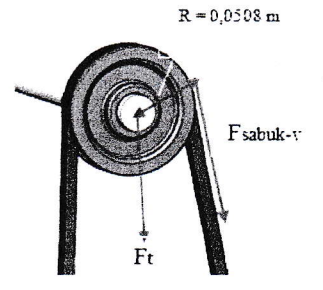
Momen puntir rencana (Torsi roda)

$$T = 4,75 \text{ N.m}$$

= 4750 N.mm

Kondisi poros yang akan dirancang dapat dilihat pada Gambar 7. Gaya yang bekerja pada poros adalah bending akibat pembebanan berat roda dan gaya tarik sabuk-v. Gaya akibat pembebanan roda sebesar 120 N, dan gaya sabuk-v dapat diketahui dari torsi

yang bekerja pada roda mobil, dapat dilbar Gambar 9.



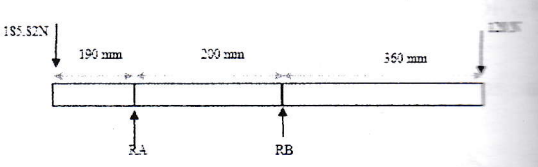
Gambar 9. Gaya pada puli poros

$$F_{\text{sabuk}} = \frac{1}{r_{\text{puli}}}$$
$$= 92.91 \text{ N}$$

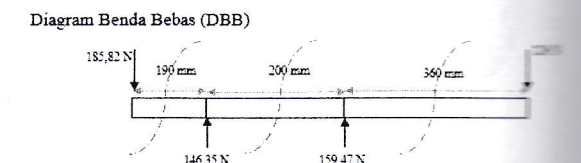
Beban radial akibat gaya sabuk-v

$$(Ft) = F_{\text{sabuk}} \times 2$$
$$= 185,82 \text{ N}$$

Skema pembebanan pada poros



Sehingga dapat dibuat diagram Momen seperti terlihat pada Gambar 10.





Gambar 10. Diagram Momen

Material poros yang digunakan adalah BTS 40. Adapun properties material BJTS 40 data dilihat pada Tabel 4.

Tabe

Elastic Poisso Mass I Tensile Yield S

Tegan Tensile 2.

=

Menent $K_m = 2$,

T = 4750 $d = \left[\left(\frac{5.1}{75} \right) \right]$

= 20,53

minimum diameter

Dari

Tegangan

 $\sigma_{\text{max}} = \frac{N}{2}$

Tegangan

 $\tau_{\text{max}} = \frac{\mathbf{T} \cdot \mathbf{r}}{J}$

=1,04

poros masil geser yang N/mm²). pat dilihat

poros

360 mm

agram Momen





m Momen takan adalah BjTS rial BJTS 40 dapat

74

Tabel 4. Properties material BJTS 40^[6]

Property	Value	Unit
Elastic Modulus	210000	N/mm ²
Poisson's Ratio	0,3	
Mass Density	7850	Kg/m^3
Tensile Strength	560	N/mm ²
Yield Strength	390	N/mm ²

Tegangan geser poros yang diizinkan

Tensile Strength= $560(N/mm^2)$, $Sf_1=6$, $Sf_2=2$.

$$\tau_a = \frac{Tensile Strength}{Sf1 \times sf2}$$
$$= 46.6 \text{ N/mm}^2$$

Menentukan diameter poros

$$K_m = 2$$
, $k_t = 1.5$ dan $M = -43199.8$ N.mm
T= 4750 N.mm

$$d = \left[\left(\frac{5.4}{\tau_a} \right) \sqrt{(K_{p_1} M)^2 + (K_{t} T)^2} \right]^{1/2}$$
= 20,53 mm

Dari hasil perhitungan diameter minimum poros adalah 20,53 mm, sehingga diameter yang dibuat adalah 28,5 mm.

Tegangan maksimum yang terjadi:

$$\sigma_{\text{max}} = \frac{M \cdot y}{f} = \frac{M \frac{d}{2}}{\frac{\pi d^4}{64}} = \frac{32 M}{\pi d^5}$$

$$= 19.01 \text{ N/mm}^2$$

Tegangan geser yang terjadi:

$$\tau_{\text{max}} = \frac{\mathbf{T} \cdot \mathbf{r}}{J} = \frac{M \frac{d}{2}}{\frac{\pi d^4}{82}} = \frac{16 M}{\pi d^8}$$

 $=1.04 \text{ N/mm}^2$

Tegangan geser yang terjadi pada poros masih berada di bawah nilai tegangan geser yang diizinkan (1,04 N/mm² < 46,6 N/mm²).

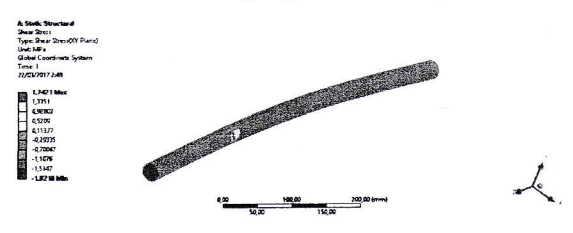
Poros hasil perancangan perlu dilakukan pengujian menggunakan perangkat lunak elemen hingga untuk mengetahui hasil deformasi maksimum poros, tegangan maksimum dan tegangan geser, dapat dilihat pada Gambar 11, Gambar 12 dan Gambar 13.



Gambar 11. Deformasi Poros



Gambar 12. Tegangan Maksimum Poros



Gambar 13. Tegangan Geser Poros

Hasil perbandingan nilai tegangan maksimum dan tegangan geser secara perhitungan dan simulasi elemen hingga tidak jauh berbeda. Sehingga dapat diasumsikan bahwa hasil simulasi elemen hingga nilainya akurat, seperti terlihat pada Tabel 5.

Tabel 5. Perbandingan Nilai tegangan Poros

Tegangan maksimum		Tegang	an geser
Perhitungan	Simulasi	Perhitungan	Simulasi
19,01 N/mm ²	19,352 MPa	1,04 N/mm ²	1,7423 MPa

Perancangan Daya Motor

Menentukan daya yang diperlukan untuk memutarkan roda mobil seperti terlihat pada

Gambar 7 adalah dengan menentukan daya yang bekerja pada puli motor yang akan menggerakkan puli poros dan roda.

Gaya sabuk-v yang diperlukan dan diameter puli motor telah diketahui, sehingga diperoleh:

$$T_{motor} = F_{sabuk-v} \times R_{puli motor}$$

= 9,38 N.m
 $Pd = T_{motor} \cdot \omega$
Daya $P = \frac{T \frac{2\pi\pi}{60}}{fc}$

Dengan rancangan kerja mesin 8-10 jam perhari, maka fc = 1,3.

$$P = \frac{9.38 \text{ Nm} \times \frac{2 + 8.24 + 1000 \text{ rad/s}}{60}}{1.3}$$
= 754,73 Nm/s = 754,73 Watt
= 1,01 hp

Motor listrik yang digunakan diupayakan memiliki daya yang besar dari 1,01 hp. Maka dipilih motor listrik dengan daya 2 hp.

Perancangan Bearing

Proses perhitungan dalam perancangan bearing adalah sebagai berikut:

- Putaran poros maksimum = 1000 rpm
- Panjang bearing

Berat roda =
$$12 \text{ kg}$$
, $(pv)_{\alpha} = 0.2$

$$L \ge \frac{\pi}{1000 \times 60} \frac{WN}{(pv)_G}$$

 \geq 8,792 mm = 8,8 mm

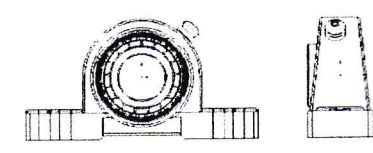
- Tekanan permukaan bearing (P)

Diameter poros = 28,5 mm

$$P = \frac{W}{ld}$$

$$P = 0.47 \text{ N/mm}^2$$

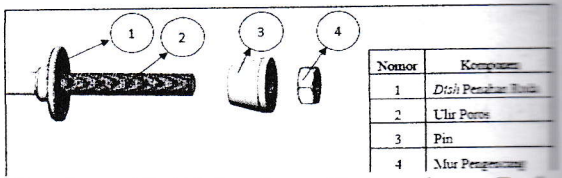
Berdasarkan data perhitungan tersebut dipilihlah bearing dengan diameter 28,5 mm dan panjang minimum 8,8 mm. Skema bearing bercangkang dapat dilihat pada Gambar 14.



Gambar 14. Bearing Bercangkang

Mekanisme Penyambung Roda dan Poros

Adapun komponen penyambung berupa ulir, *dish* penahan, pin dan baut pengencang seperti terlihat pada Gambar 15.

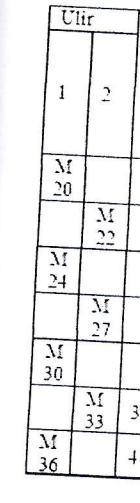


Gambar 15. Mekanisme Penyambung Rodar dan Poros

a. Perancangan Ulir Poros

Berdasarkan diameter poros yang digunakan, pemilihan ulir standar berdasarkan tabel ukuran standar ulir kasar metrik (JIS B 0205) yang dapat dilibat pada Tabel 6.

Tabel 6. Standar Ulir Kasar Metrik (JIS = 0205)^[6]



Dari Tabel
diameter lu
diameter im
jarak bagi p
Bahan mur i
Kekuatan ta
Tegangan ge
Diameter lua
Diameter efe

Maka digunal

Tinggi kaitan

H

Mencari

$$z' = \frac{H}{p} =$$

Dari pera poros yang d mur baja liat 0 tinggi mur 27 u ulir dapat diliha



Gambar

perhitungan

ng dengan

ng minimum

ngkang dapat



angkang

dan Poros

mbung berupa

t pengencang

mor	Komponen
1	Disii Penahan Roda
2	Ulir Poros
3	Pin
1	Mur Pengencang abung Ro

poros yang
ulir standar
standar ulir kasar
mg dapat dilihat

Metrik (JIS B

76

Ulir				Ulir Dalam				
		Jarak Bazi			Tinggi Kaitan	Diameter Luar D	Diameter Efektif D:	Diameter Dalam D ₁
1	2	P -	H ₂	Uhr Luar				
				Diameter Luard	Diameter Efektifd:	Diameter Dalam d		
M 20		2,5	1,353	20	18,376	17,294		
	M 22	2,5	1,353	22	20,376	19,294		
M 24			3	1,624	24	22,051		
	M 27		3	1,624	27	25,051		
M 30			3,5	1,894	30	27,727		
	M 33	3,5	1,894	33	30,727	29,211		
M 36		4	2,165	36	34,402	31,670		

Dari Tabel 8 dapat diketahui:

diameter luar d = 27 mm,

diameter inti d_1 = 23,752 mm < 28,5 mm

jarak bagi p = 3 mm.

Bahan mur baut : Baja liat dengan 0,22% C

Kekuatan tarik $\sigma_b = 420 \text{ N/mm}^2$,

Tegangan geser $\tau_a = 30 \text{ N/mm}^2$,

Diameter luar ulir dalam D = 27 mm,

Diameter efektif ulir dalam $D_2 = 25,051 \text{ mm}$,

Tinggi kaitan gigi dalam $H_1 = 1,624$ mm.

H =
$$(0.8 - 1)$$
 D
= 5.4

Maka digunakan H = 27 mm

Mencari jumlah ulir mur z'

$$z' = \frac{H}{n} = \frac{27}{3} = 9$$

Dari perancangan dapat diketahui ulir poros yang digunakan adalah M27. Bahan mur baja liat 0,22% C. Ukuran mur M27 dan tinggi mur 27 mm. Adapun hasil perancangan ulir dapat dilihat pada Gambar 16.





Gambar 16. Ulir dan Mur Poros

Penyambung roda mobil dengan poros mesin *balancing* menggunakan dish penahan yang digunakan untuk menahan sisi belakang roda. Dimensi dish penahan juga disesuaikan dengan roda yang digunakan. Adapun dimensi dish penahan dapat dilihat pada Gambar 17.



Gambar 17. Dish Penahan Roda

Roda sisi depan ditahan menggunakan pin yang dibuat berdasarkan lubang roda mobil yang digunakan. Untuk hasil yang lebih baik dimensi pin dapat dilihat pada Gambar 18.



Gambar 18. Pin penahan roda

Pengujian Rangka Mesin Balancing

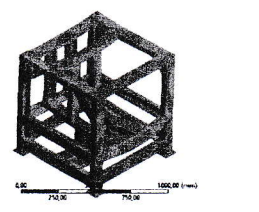
Rancangan rangka selanjutnya diuji kekuatannya menahan beban komponen mesin balancing dengan cara melakukan simulasi perangkat lunak elemen hingga. Adapun hasil pengujian rangka mesin balancing sebagai berikut:

• Tegangan maksimum dan deformasi

Setelah dilakukan dilakukan simulasi tegangan maksimum dan deformasi pada rancangan rangka mesin *balancing* roda mobil yang telah ditetapkan. Nilai tegangan maksimum yang terjadi pada rangka mesin

balancing yang dirancang adalah 2,6634 MPa. Lokasi tegangan yang terjadi dapat dilihat pada Gambar 19. Nilai deformasi maksimum yang terjadi pada rangka akibat pembebanan adalah sebesar 0,013473 mm. Lokasi deformasi dapat dilihat pada Gambar 20.





Gambar 19. Tegangan pada Rangka



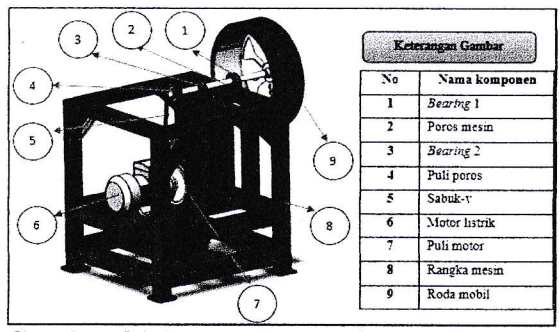




Gambar 20. Deformasi pada Rangka

Hasil Rancangan Rangka Mesin Balancing

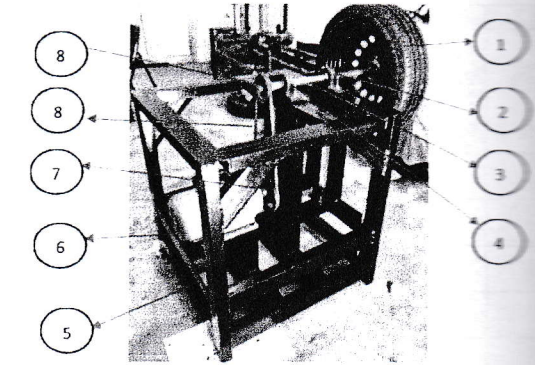
Mesin *balancing* roda mobil hasil rancangan dapat dilihat pada Gambar 21.



Gambar 21. Rancangan rangka mesin

3. PEMBUATAN MESIN *BALANCING* RODA MOBIL

Selanjutnya adalah tahapan pembuatan mesin *balancing*. Rancangan mesin *balancing* yang telah selesai dibuat dapat dilihat pada Gambar 22.



Gambar 22. Mesin *Balancing* Hasil Pembuatan

Spesifikasi mesin dapat dilihat pada Tabel 7.

Tabel 7. Spesifikasi Mesin Balancing

No	Komponen	Spesifikasi			
1	Roda mobil	Diameter 550 mm, tebal 160 mm, berat 12 km			
2	Bearing 1	Diameter lubang 1-1/8 in.			
3	Poros mesin	Material BjTS 40. diameter 28.5 mm.			
4	Bearing 2	Diameter lubang 1-1/8 in.			
5	Rangka mesin	Material ASTM A36. profil c-chanel.			
6	Motor listrik	Daya 2 hp.			
7	Puli motor	Diameter 203.2 mm			
8	Sabuk-v	Tipe A. No 54.			
9	Puli poros	Diameter puli 107.4 mm.			

4. PENGUJIAN MESIN BALANCING

Untuk menyatakan tingkat aman suatu mesin balancing berdasarkan level getaran yang terjadi, dapat menggunakan standar S. 2372. Pengujian mesin balancing dilakutan pada roda balance dengan menggunakan atau vibration meter. Berdasarkan penjelasan pada standar ISO 2372 mesin balancing yang terjada pada kelas I, karena dapat penggeraknya dibawah 15 kW yaitu 1.454 kW. Standar ISO 2372 dapat dilihat pada Tabel 8.

Tabel 8. Standar ISO 2373^[8]

Ranges
Velocity | Peak | 0.015 | 0.015 | 0.015 | 0.015 | 0.030 | 0.002 | 0.004 | 0.154 | 0.248 | 0.302 | 0.6617 | 0.001 | 1.54 | 0.248 | 0.302 | 0.6617 | 0.001 | 0.561 | 0.248 | 0.302 | 0.6617 | 0.001 | 0.561 | 0.001 | 0.561 | 0.001 | 0.561 | 0.001 | 0.001 | 0.561 | 0.001 | 0.561 | 0.001 | 0.001 | 0.001 | 0.001 | 0.001 | 0.001 | 0.001 | 0.001 | 0.001 | 0.001 | 0.001 | 0.001 | 0.001 | 0.001 | 0.001 | 0.001 | 0.001 | 0.001 | 0.001 | 0.001 | 0.001 | 0.001 | 0.001 | 0.001 | 0.001 | 0.001 | 0.001 | 0.001 | 0.001 | 0.001 | 0.001 | 0.001 | 0.001 | 0.001 | 0.001 | 0.001 | 0.001 | 0.001 | 0.001 | 0.001 | 0.001 | 0.001 | 0.001 | 0.001 | 0.001 | 0.001 | 0.001 | 0.001 | 0.001 | 0.001 | 0.001 | 0.001 | 0.001 | 0.001 | 0.001 | 0.001 | 0.001 | 0.001 | 0.001 | 0.001 | 0.001 | 0.001 | 0.001 | 0.001 | 0.001 | 0.001 | 0.001 | 0.001 | 0.001 | 0.001 | 0.001 | 0.001 | 0.001 | 0.001 | 0.001 | 0.001 | 0.001 | 0.001 | 0.001 | 0.001 | 0.001 | 0.001 | 0.001 | 0.001 | 0.001 | 0.001 | 0.001 | 0.001 | 0.001 | 0.001 | 0.001 | 0.001 | 0.001 | 0.001 | 0.001 | 0.001 | 0.001 | 0.001 | 0.001 | 0.001 | 0.001 | 0.001 | 0.001 | 0.001 | 0.001 | 0.001 | 0.001 | 0.001 | 0.001 | 0.001 | 0.001 | 0.001 | 0.001 | 0.001 | 0.001 | 0.001 | 0.001 | 0.001 | 0.001 | 0.001 | 0.001 | 0.001 | 0.001 | 0.001 | 0.001 | 0.001 | 0.001 | 0.001 | 0.001 | 0.001 | 0.001 | 0.001 | 0.001 | 0.001 | 0.001 | 0.001 | 0.001 | 0.001 | 0.001 | 0.001 | 0.001 | 0.001 | 0.001 | 0.001 | 0.001 | 0.001 | 0.001 | 0.001 | 0.001 | 0.001 | 0.001 | 0.001 | 0.001 | 0.001 | 0.001 | 0.001 | 0.001 | 0.001 | 0.001 | 0.001 | 0.001 | 0.001 | 0.001 | 0.001 | 0.001 | 0.001 | 0.001 | 0.001 | 0.001 | 0.001 | 0.001 | 0.001 | 0.001 | 0.001 | 0.001 | 0.001 | 0.001 | 0.001 | 0.001 | 0.001 | 0.001 | 0.001 | 0.001 | 0.001 | 0.001 | 0.001 | 0.001 | 0.001 | 0.001 | 0.001 | 0.001 | 0.001 | 0.001 | 0.001 | 0.001 | 0.001 | 0.001 | 0.001 | 0.001 | 0.001 | 0.001 | 0.001 | 0.001 | 0.001 | 0.001 | 0.001 | 0.001 | 0.001 | 0.001 | 0.001 | 0.001 | 0.001 | 0.001 | 0.001 | 0.001 | 0.001 | 0.001 | 0.001 | 0.001 | 0.001 | 0.0

Data h mesin *bala* dilihat pada

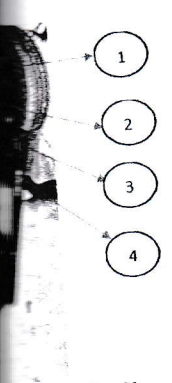
Gamb

Setelah di pada mesin bahwa pada pada pang terjadi pa sudah melebih standar.

5. PEMBAHA

Proses per roda mobil di setiap komponemesin balancia rangka, sistem bearing, motor roda dan poros.

Dari hasil p roda mobil, kek aman. Hal ini



cing Hasil

pada Tabel 7.

mcing

160 mm. berat 12 kg.

see 28.5 mm.

see 28.5 mm.

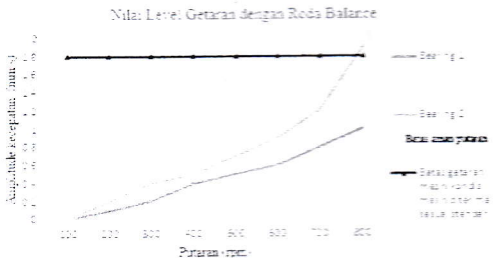
LANCING

level getaran
kan standar ISO
meing dilakukan
menggunakan alat
penjelasan pada
mancing yang di
I, karena daya
W yaitu 1,4914
mpat dilihat pada

Ranges of Vibration severity		Examples of quality judgment for separate classes of machines			
Velocity m/s Peak	Velocity min/s	Class	(lbs	Class	Class IV
0.015	0.28				
0.025	0.45				
0.039	0.71				
0.062	1.12				
() (KK)	1.8				1
0.154	2.8				
0.248	15				
0.392	7.1				
0.617	11.2				
0.993	18				
1.54	28	PER ST			
2.48	45				
3.94	71	SE SE			

A Good B Acceptable C Still acceptable D - Not acceptable

Data hasil pengujian level getaran pada mesin *balancing* dengan roda *balance* dapat dilihat pada Gambar 23.



Gambar 23. Grafik pengujian Mesin balancing

Setelah dilakukan pengujian level getaran pada mesin *balancing* dengan roda *balance*, bahwa pada putaran 800 rpm, level getaran yang terjadi pada mesin *balancing* roda mobil sudah melebihi kondisi yang diterima sesuai standar.

5. PEMBAHASAN

Proses perancangan mesin balancing roda mobil dilakukan dengan merancang setiap komponen mesin mesin. Komponen mesin balancing yang dirancang adalah rangka, sistem transmisi sabuk-v, poros, bearing, motor dan mekanisme penyambung roda dan poros.

Dari hasil perancangan mesin *balancing* roda mobil, kekuatan struktur mesin masih aman. Hal ini dapat diketahui dari nilai

tegangan maksimum yang terjadi pada rangka 3,2955 mesin balancing adalah rancangan rangka diasumsikan aman karena jauh dibawah yield strength material yaitu 250 MPa. Nilai deformaisi maksimum yang terjadi pada rangka akibat pembebanan adalah sebesar 0.011576 mm. Tegangan maksimum yang didapat dari hasil simulasi elemen hingga pada poros yang dirancang adalah 37.024MPa. Nilai tegangan maksimum yang terjadi pada poros dikatakan aman karena nilainya di bawah yield strength material poros vaitu 390 MPa. Sedangkan nilai deformasi maksimal poros yang didapat setelah melakukan simulasi elemen hingga adalah 0.29186 mm.

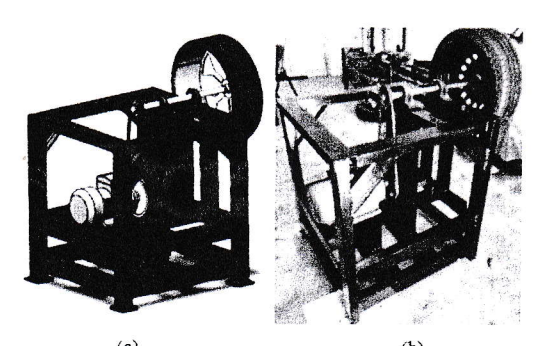
Setelah diketahui kekuatan struktur mesin *balancing* aman, perlu dilakukan pengujian secara keseluruhan mesin *balancing* yang selesai dibuat. Hal ini dilakukan untuk mengetahui kelayakan pakai mesin *balancing* berdasarkan level getaran yang terjadi. Standar yang digunakan adalah ISO 2372.

Pada pengujian sampai putaran 800 rpm, level getaran yang dihasilkan mesin dengan roda balance sudah melebihi standar masih diterima. Sehingga dapat diketahui bahwa mesin balancing yang dirancang hanya mampu melakukan proses balancing roda mobil hingga putaran 700 rpm.

6. PENUTUP

Setelah dilakukan perancangan dan pembuatan mesin *balancing* roda mobil dapat disimpulkan beberapa hal, seperti:

 Mesin balancing yang dirancang dapat dilihat pada Gambar 24.



Gambar 24. (a) Rancangan Mesin Balancing dan (b) Mesin Balancing

2. Nilai tegangan maksimum yang terjadi pada rangka mesin balancing adalah 3,2955 MPa. Nilai deformaisi maksimum terjadi pada rangka yang akibat pembebanan adalah sebesar 0.011576 mm. Tegangan maksimum yang didapat dari hasil simulasi elemen hingga pada poros yang dirancang adalah 37,024MPa. Sedangkan nilai deformasi maksimal poros yang didapat setelah melakukan simulasi elemen hingga adalah 0.29186 mm.

DAFTAR PUSTAKA

[1] Agustian, Tio. 2014. "Analisis FrontWheel Alignment (FWA) PadaKendaraan Daihatsu Grand Mac Pik Up".Universitas pendidikan Indonesia.

[2] Scheffer, Cornelius. 2004 "Machinery Vibration Analysis and Predictive Maintanance" Elsevier, Jordan Hill. Oxford.

- [3] IS/ISO 1925 (2001): Mechanical vibration *Balancing* -Vocabulary [MED 28: Mechanical Vibration and Shock]
- [4] Darmawan, H. 2000. Pengantar Perancangan Teknik (Perancangan Produk). Jakarta: Direktorat Jenderal Pendidikan Tinggi Departemen Pendidikan Nasional.
- [5] M0tt, Robert L, PE, 2009 "Elemen-Elemen Mesin Dan Perancangan Mekanis" University of dayton, Andi yogyakarta.
- [6] Sularso dan Suga. 2008 "Dasar Perencanaan dan Pemilihan Elemen Mesin" Pradnya Paramita, Jakarta.
- [7] Bilosova, Alena. 2012 "Vibratio Diagnostics" Ostava. Leuven, Belgium.
- [8] scheffer coenelius, Girdhar Paresh. 2004 "Practical Machinery Vibration Analysis and Predictive Maintenance" Elsevier Linacre House, Jordan Hill, Oxford.

FO Time

Jl. Raya Kand

Abstrasecara singkat dari 200 kata de

Key words: ditt

1. PEN
Rom
Mak
Ms Word, ma
Halaman den
mm) dan jara
dicetak deng
jelas, dengan
mm, left 40 m
Isi makalah ya
jenis huruf
menggunakan

PERS Persa diberi nomor s yang diletakka persaman mate

dimana:

ω =

Setiap makalah, harap pada bagian at seperti: Tabel 1,